

確率的虚時間発展法(PITE法)による反応移流拡散方程式の量子アルゴリズム

— 回路実装および量子線型方程式アルゴリズム(QLSAs)との比較

株式会社Quemix & 東京大学

董欣馳, 西紘史, 小杉太一, 川田佳史, 松下雄一郎

第2回 Quantum CAE 研究会 @産業技術総合研究所 2025年5月8-9日



問題背景

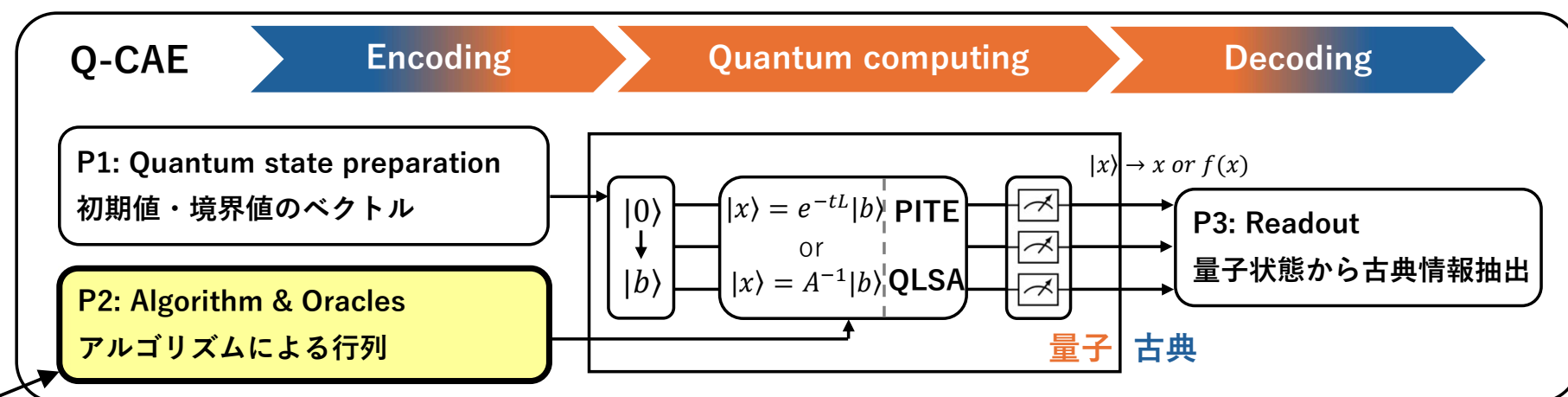
問題背景

- 計算工学において、偏微分方程式(PDES)の数値解は重要な課題
- Conventional 手法 = 線型方程式に帰着: $Ax = b$, A, b が既知
- 大規模問題に対して、古典計算量が膨大、もしくはメモリが不足
- 量子計算機による高速化が期待されている

$$\partial_t f = \hat{L}f \text{ or } \hat{L}f = g$$

量子CAE計算

量子計算機を用いて行列演算を加速するもの



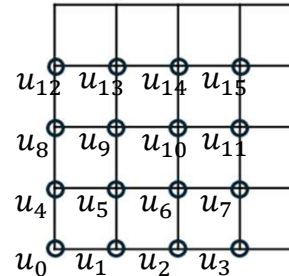
注目

問題設定と主要結果

時間発展方程式

- 空間離散化

$$\begin{array}{ccc} \partial_t u(t) + \hat{H}u(t) = 0 \\ u & \xrightarrow{\text{space discretization}} & \mathbf{u}_N \\ & & \partial_t \mathbf{u}_N(t) + H_N \mathbf{u}_N(t) = \mathbf{0}. \end{array}$$



解のグリッド点における値
 $\mathbf{u}_N = (u_0, u_1, \dots, u_{N-1})$

問題設定

- 初期値 u_0 , ターゲット時間 T , グリッド数 N , 誤差上界 ε が与えられているとする.
- 量子計算機において、初期値に対応する入力量子状態 $|\mathbf{u}_N(0)\rangle = \mathbf{u}_N(0)/\|\mathbf{u}_N(0)\|$ が与えられたとき、以下の式:

$$\|\tilde{|\mathbf{u}_N(T)\rangle} - |\mathbf{u}_N(T)\rangle\| \leq \varepsilon,$$

を満たす近似解の量子状態 $|\tilde{u}_N(T)\rangle$ を用意する. ただし、 $|\mathbf{u}_N(T)\rangle = \mathbf{u}_N(T)/\|\mathbf{u}_N(T)\|$ である.

主要結果

- 以下のゲート操作数・回路深さで、近似解の量子状態を用意できる:

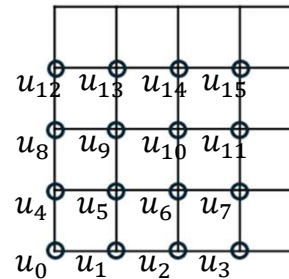
$$O(\text{polylog} N (1/\varepsilon)^{1+o(1)}).$$

時間発展方程式

- 空間離散化

$$u \xrightarrow{\text{space discretization}} \mathbf{u}_N$$

$$\partial_t \mathbf{u}_N(t) + H_N \mathbf{u}_N(t) = \mathbf{0}.$$



解のグリッド点における値
 $\mathbf{u}_N = (u_0, u_1, \dots, u_{N-1})$

問題設定

- 初期値 u_0 , ターゲット時間 T , グリッド数 N , 誤差上界 ε が与えられているとする.
- 量子計算機において、初期値に対応する入力量子状態 $|\mathbf{u}_N(0)\rangle = \mathbf{u}_N(0)/\|\mathbf{u}_N(0)\|$ が与えられたとき、以下の式:

$$\|\tilde{|\mathbf{u}_N(T)\rangle} - |\mathbf{u}_N(T)\rangle\| \leq \varepsilon,$$

を満たす近似解の量子状態 $|\tilde{u}_N(T)\rangle$ を用意する. ただし、 $|\mathbf{u}_N(T)\rangle = \mathbf{u}_N(T)/\|\mathbf{u}_N(T)\|$ である.

主要結果

- 以下のゲート操作数・回路深さで、近似解の量子状態を用意できる:

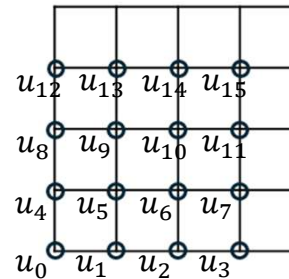
$$O(\text{polylog} N (1/\varepsilon)^{1+o(1)}).$$

時間発展方程式

- 空間離散化

$$u \xrightarrow{\text{space discretization}} \mathbf{u}_N$$

$$\partial_t \mathbf{u}_N(t) + H_N \mathbf{u}_N(t) = \mathbf{0}.$$



解のグリッド点における値
 $\mathbf{u}_N = (u_0, u_1, \dots, u_{N-1})$

問題設定

- 初期値 u_0 , ターゲット時間 T , グリッド数 N , 誤差上界 ε が与えられているとする.
- 量子計算機において、初期値に対応する入力量子状態 $|\mathbf{u}_N(0)\rangle = \mathbf{u}_N(0)/\|\mathbf{u}_N(0)\|$ が与えられたとき、以下の式:

$$\|\tilde{|\mathbf{u}_N(T)\rangle} - |\mathbf{u}_N(T)\rangle\| \leq \varepsilon,$$

を満たす近似解の量子状態 $|\tilde{\mathbf{u}}_N(T)\rangle$ を用意する. ただし、 $|\mathbf{u}_N(T)\rangle = \mathbf{u}_N(T)/\|\mathbf{u}_N(T)\|$ である.

主要結果

- 以下のゲート操作数・回路深さで、近似解の量子状態を用意できる:

$$O(\text{polylog} N (1/\varepsilon)^{1+o(1)}).$$

確率的虚時間発展(Probabilistic Imaginary-Time Evolution, PITE)

- （古典）Exponential Integrator(EI) $\mathbf{u}_N(0) \rightarrow \mathbf{u}_N(T) = \exp(-TH_N) \mathbf{u}_N(0).$

※ 線型方程式を解く方法と違う

- （量子）PITE 演算子

$$|\mathbf{u}_N(0)\rangle \rightarrow |\mathbf{u}_N(T)\rangle = \frac{\exp(-TH_N) \mathbf{u}_N(0)}{\|\exp(-TH_N) \mathbf{u}_N(0)\|}.$$

- さらに、以下の近似 PITE 演算子(Alternative Approximate PITE, AAPITE)を導入する：

$$|\mathbf{u}_N(0)\rangle \rightarrow |\tilde{\mathbf{u}}_N(T)\rangle = \frac{\cos^K(\sqrt{2\Delta\tau H_N}) \mathbf{u}_N(0)}{\|\cos^K(\sqrt{2\Delta\tau H_N}) \mathbf{u}_N(0)\|}.$$

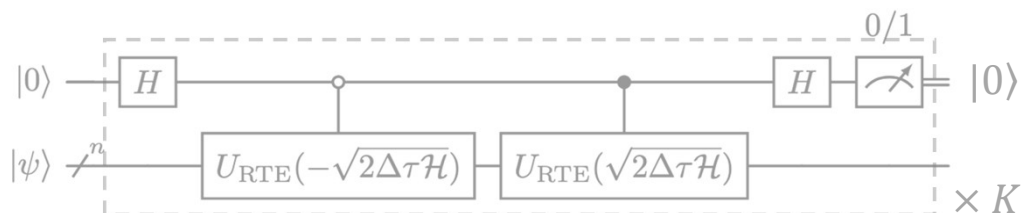
量子計算機で実現可能な演算子にする。

量子計算機で効率良く構成可能な近似演算子にする。
 $T = K\Delta\tau$

AAPITE の量子回路

- 一つだけの補助ビットを使用。

- 所要オラクル: $\exp(\pm i\sqrt{2\Delta\tau H_N})$



※ 高次近似 PITE も構成できる： $\cos(\sqrt{2\Delta\tau H} - \sqrt{2\Delta\tau^3 H^3}/6) = \exp(-\Delta\tau H) + O(\Delta\tau^3)$

確率的虚時間発展(Probabilistic Imaginary-Time Evolution, PITE)

- （古典）Exponential Integrator(EI) $\mathbf{u}_N(0) \rightarrow \mathbf{u}_N(T) = \exp(-TH_N) \mathbf{u}_N(0).$

※ 線型方程式を解く方法と違う

- （量子）PITE 演算子

$$|\mathbf{u}_N(0)\rangle \rightarrow |\mathbf{u}_N(T)\rangle = \frac{\exp(-TH_N) \mathbf{u}_N(0)}{\|\exp(-TH_N) \mathbf{u}_N(0)\|}.$$

- さらに、以下の近似 PITE 演算子(Alternative Approximate PITE, AAPITE)を導入する：

$$|\mathbf{u}_N(0)\rangle \rightarrow |\tilde{\mathbf{u}}_N(T)\rangle = \frac{\cos^K(\sqrt{2\Delta\tau H_N}) \mathbf{u}_N(0)}{\|\cos^K(\sqrt{2\Delta\tau H_N}) \mathbf{u}_N(0)\|}.$$

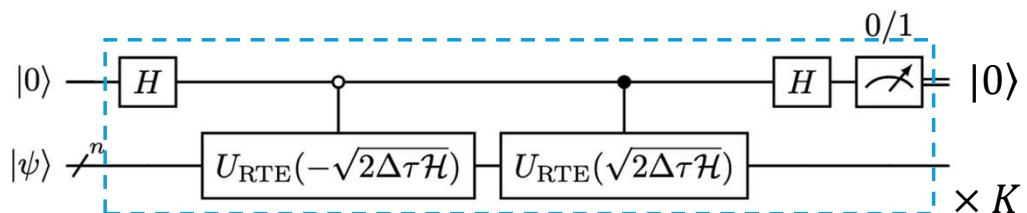
量子計算機で実現可能な演算子にする。

量子計算機で効率良く構成可能な近似演算子にする。
 $T = K\Delta\tau$

AAPITE の量子回路

- 一つだけの補助ビットを使用。

- 所要オラクル: $\exp(\pm i\sqrt{2\Delta\tau H_N})$



- ※ 高次近似 PITE も構成できる: $\cos(\sqrt{2\Delta\tau H} - \sqrt{2\Delta\tau^3 H^3}/6) = \exp(-\Delta\tau H) + O(\Delta\tau^3)$

フーリエスペクトル法(FSM)による効率良い実装法

- 簡単なため、線型の反応移流拡散方程式を考える：

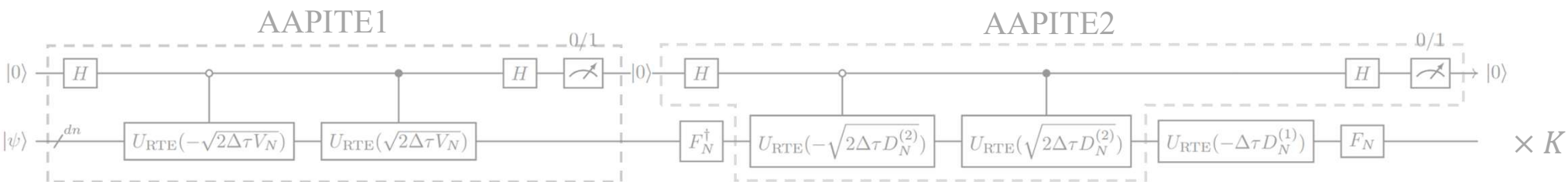
$$\hat{H} = -a\nabla^2 + \mathbf{v} \cdot \nabla + V,$$

- FSM + 一次鈴木=トロツタ一分解を用いると

$$\exp(-TH_N) \approx \left(F_N \exp\left(i\Delta\tau D_N^{(1)}\right) \exp\left(-\Delta\tau D_N^{(2)}\right) F_N^\dagger \exp(-\Delta\tau V_N) \right)^K.$$

F_N : (中心)量子フーリエ変換、 $D_N^{(1)}, D_N^{(2)}, V_N$: (対角成分は既知関数に従う)対角行列.

- AAPITE を二回使う量子回路：



- 所要オラクル=対角ユニタリ演算子の実装：

[Huang et al. QIP '25] \Rightarrow 一時間ステップの回路深さは $O(\text{polylog}N (1/\varepsilon)^{o(1)})$.

付録1

※ 誤差評価により $K = O(1/\varepsilon)$.

付録2

フーリエスペクトル法(FSM)による効率良い実装法

- 簡単なため、線型の反応移流拡散方程式を考える：

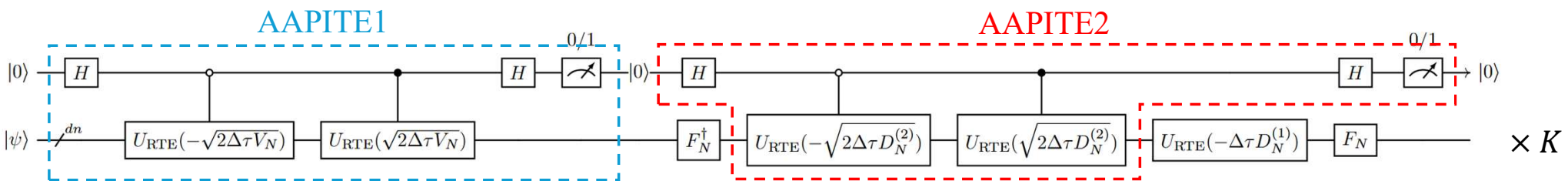
$$\hat{H} = -a\nabla^2 + \mathbf{v} \cdot \nabla + V,$$

- FSM + 一次鈴木=トロツタ一分解を用いると

$$\exp(-TH_N) \approx \left(F_N \exp\left(i\Delta\tau D_N^{(1)}\right) \exp\left(-\Delta\tau D_N^{(2)}\right) F_N^\dagger \exp(-\Delta\tau V_N) \right)^K.$$

F_N : (中心)量子フーリエ変換、 $D_N^{(1)}, D_N^{(2)}, V_N$: (対角成分は既知関数に従う)対角行列.

- AAPITE を二回使う量子回路：



- 所要オラクル=対角ユニタリ演算子の実装：

[Huang et al. QIP '25] \Rightarrow 一時間ステップの回路深さは $O(\text{polylog}N (1/\varepsilon)^{o(1)})$.

論文 Appendix C

※ 誤差評価により $K = O(1/\varepsilon)$.

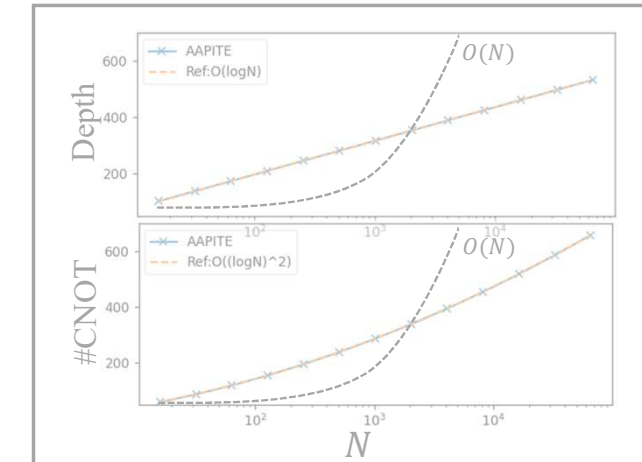
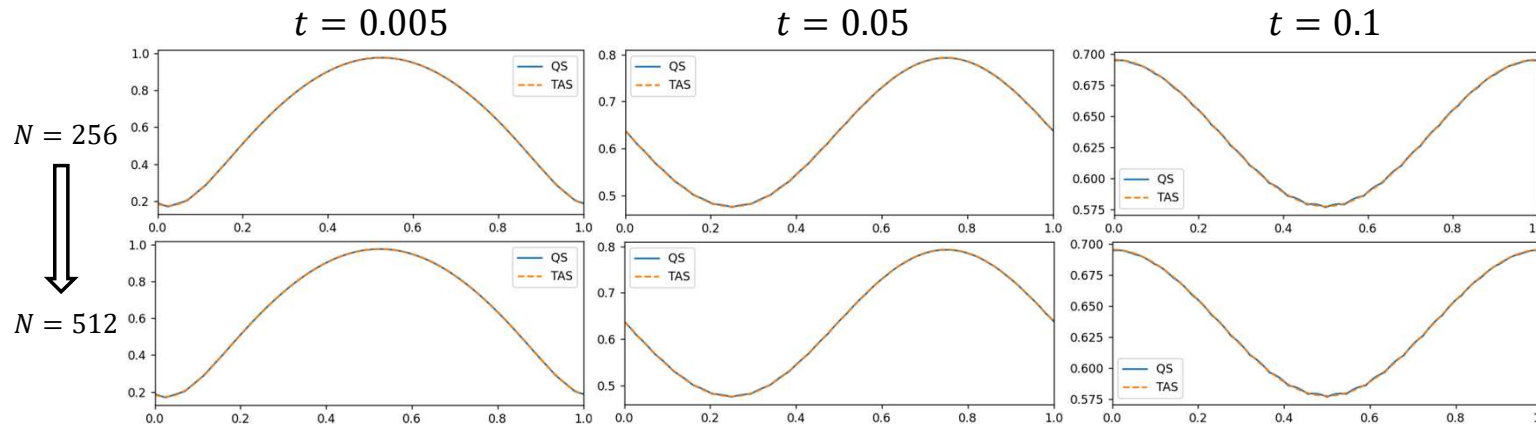
論文 Appendix E

数值例

Qiskitによる数値シミュレーション例

1D 移流拡散方程式

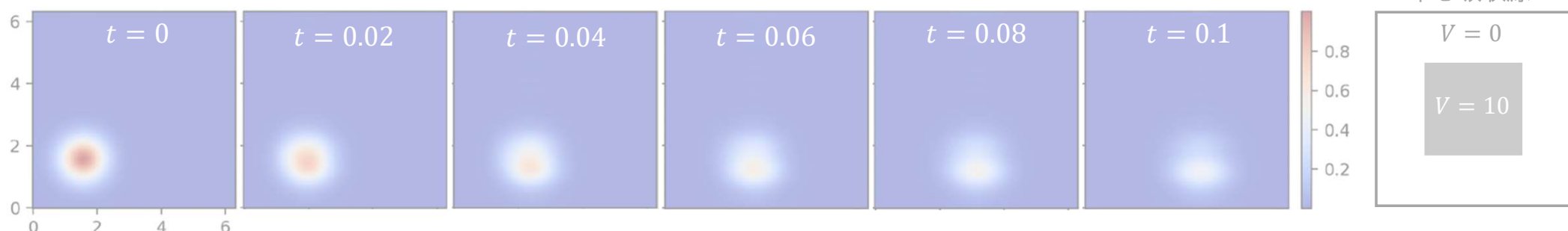
$\Delta\tau = 0.0005, K = 200$



※ オイラー差分法と異なり、時間ステップ $\Delta\tau$ と空間ステップの二乗 $(L/N)^2$ の間の比例係数が定数でなくても、数値的に安定。

2D 反応移流拡散方程式

$N = 16 \times 16, N_f = 128 \times 128, \Delta\tau = 0.0025, K = 40$

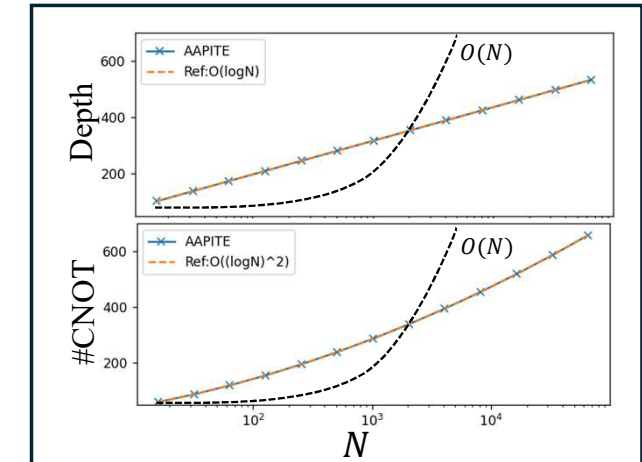
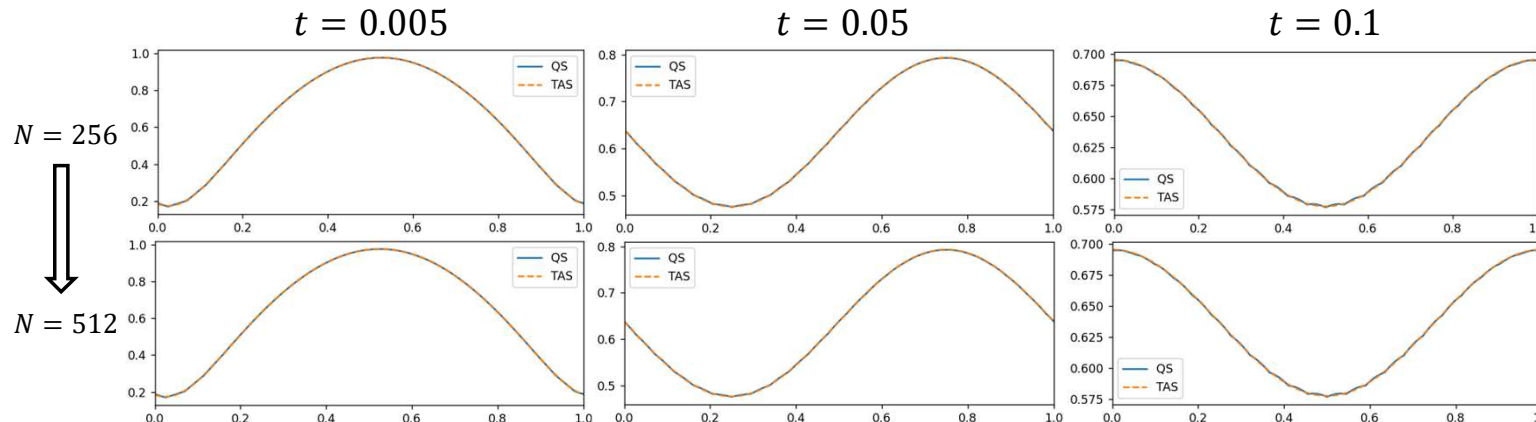


※ FSMにより、 128×128 グリッド点における解は 16×16 等少数の計算グリッド点(波数空間のグリッド数)によって算出できる。

Qiskitによる数値シミュレーション例

1D 移流拡散方程式

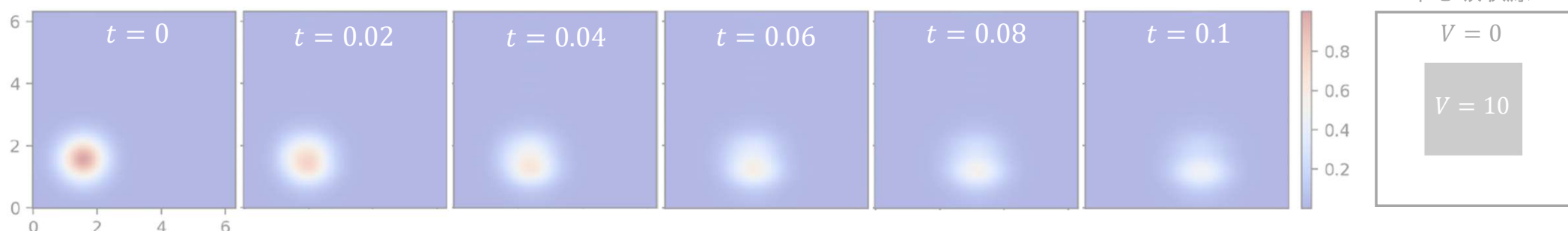
$\Delta\tau = 0.0005, K = 200$



※ オイラー差分法と異なり、時間ステップ $\Delta\tau$ と空間ステップの二乗 $(L/N)^2$ の間の比例係数が定数でなくても、数値的に安定。

2D 反応移流拡散方程式

$N = 16 \times 16, N_f = 128 \times 128, \Delta\tau = 0.0025, K = 40$



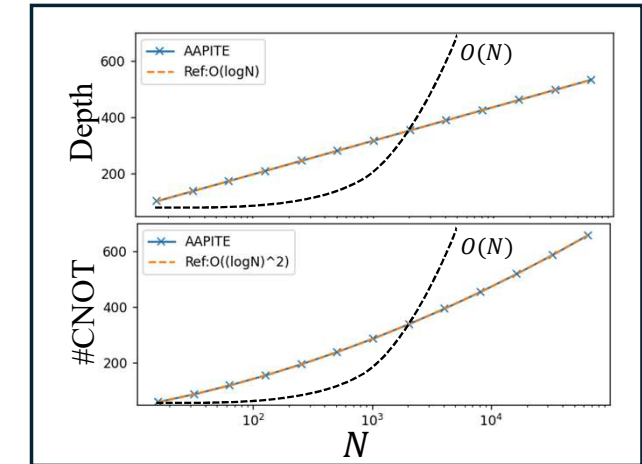
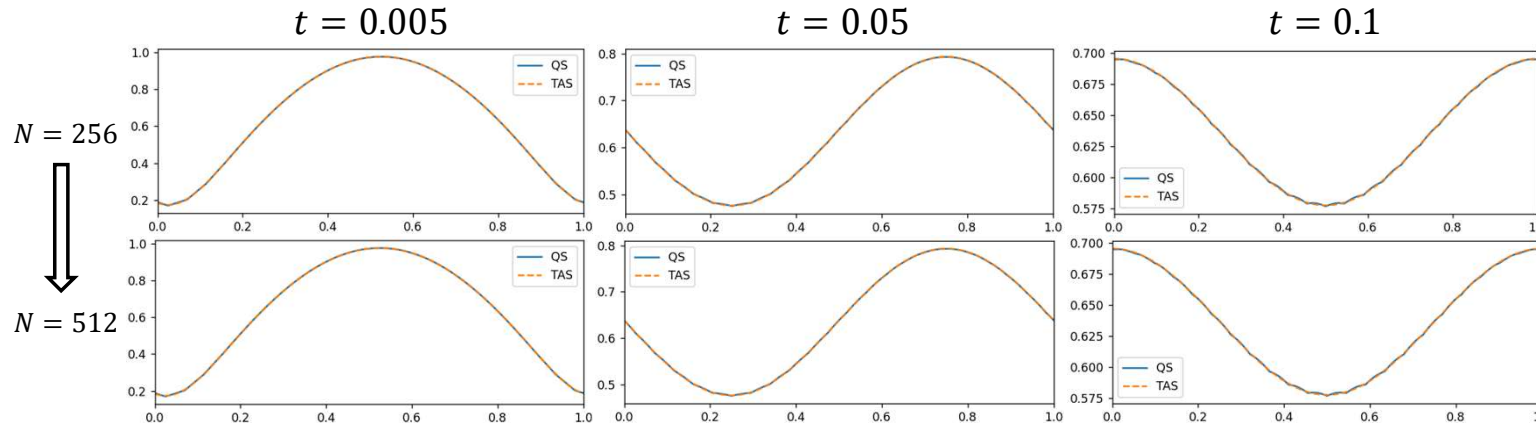
※ FSMにより、 128×128 グリッド点における解は 16×16 等少数の計算グリッド点(波数空間のグリッド数)によって算出できる。

Qiskitによる数値シミュレーション例



1D 移流拡散方程式

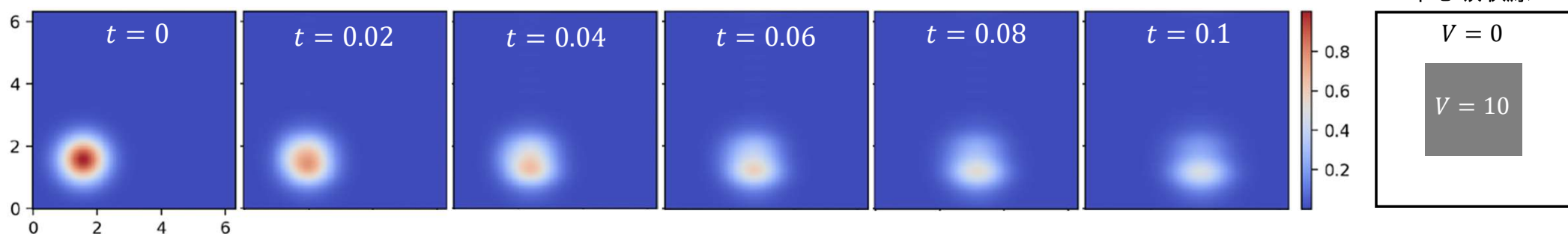
$$\Delta\tau = 0.0005, K = 200$$



※ オイラー差分法と異なり、時間ステップ $\Delta\tau$ と空間ステップの二乗 $(L/N)^2$ の間の比例係数が定数でなくても、数値的に安定。

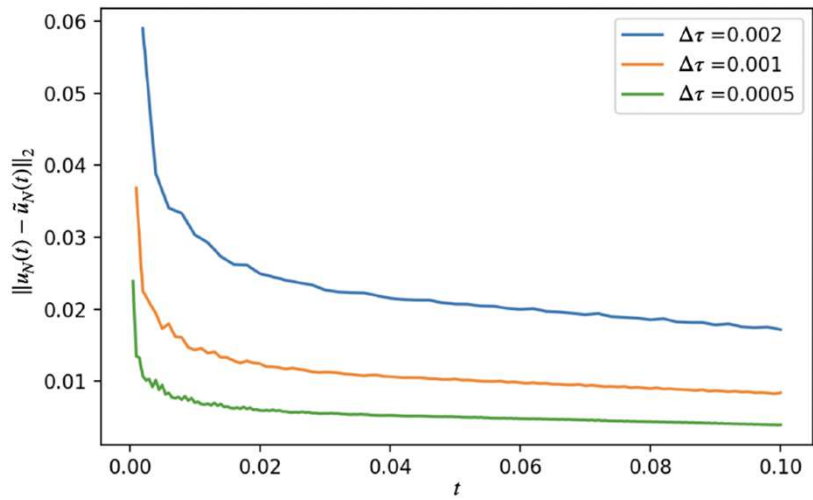
2D 反応移流拡散方程式

$$N = 16 \times 16, N_f = 128 \times 128, \Delta\tau = 0.0025, K = 40$$



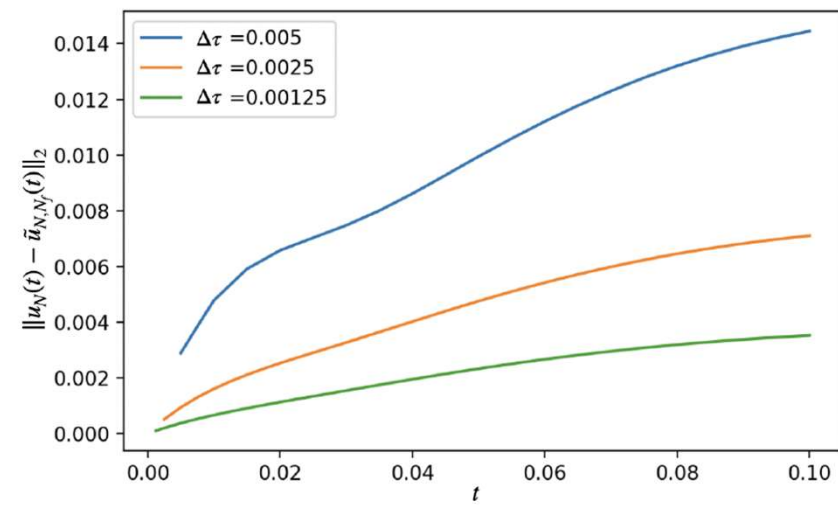
※ FSMにより、 128×128 グリッド点における解は 16×16 等少数の計算グリッド点(波数空間のグリッド数)によって算出できる。

1D 移流拡散方程式



成功確率 $\approx 0.81.$

2D 反応移流拡散方程式

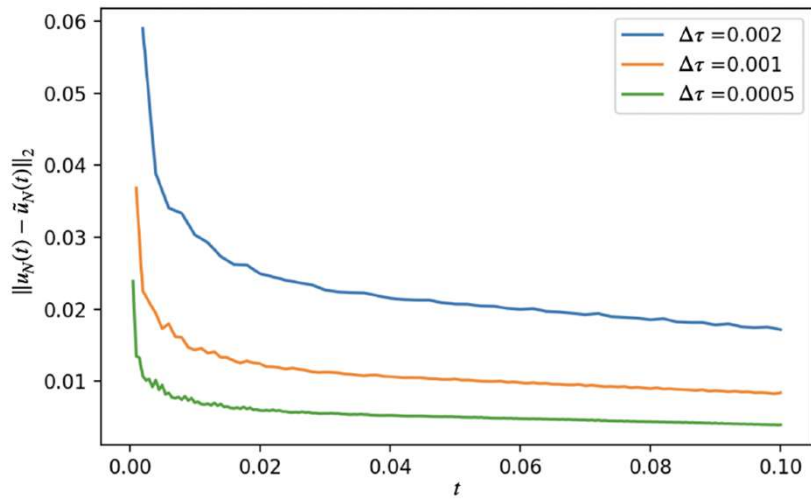


成功確率 $\approx 0.26.$

$$\mathbb{P}_{\text{tot}} = \left\| \left(F_N e^{i\Delta\tau D_N^{(1)}} \cos \left(\sqrt{2\Delta\tau D_N^{(2)}} \right) F_N^\dagger \cos \left(\sqrt{2\Delta\tau V_N} \right) \right)^K |u_N(0)\rangle \right\|^2 \approx \frac{\|u_N(T)\|^2}{\|u_N(0)\|^2} \xrightarrow{N \rightarrow \infty} \frac{\|u(T)\|_{L^2}^2}{\|u_0\|_{L^2}^2}.$$

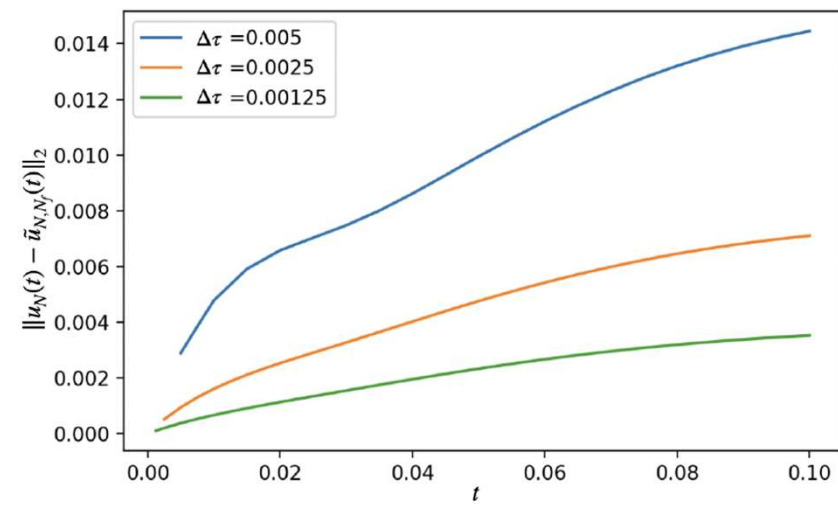
※ 成功確率には、解のノルム情報がある。また、(T に依存した)定数に収束する。

1D 移流拡散方程式



成功確率 ≈ 0.81 .

2D 反応移流拡散方程式



成功確率 ≈ 0.26 .

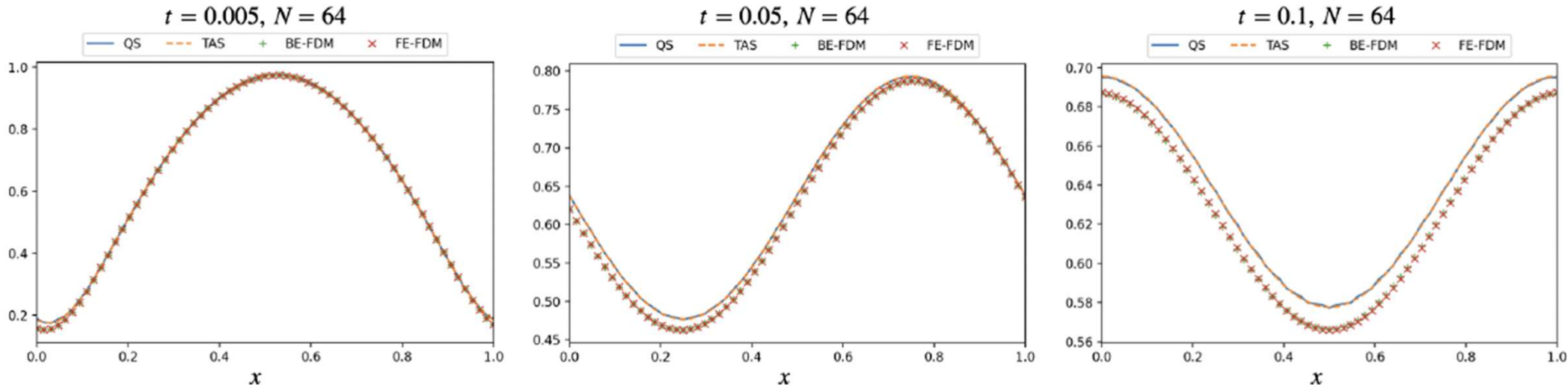
$$\mathbb{P}_{\text{tot}} = \left\| \left(F_N e^{i\Delta\tau D_N^{(1)}} \cos \left(\sqrt{2\Delta\tau D_N^{(2)}} \right) F_N^\dagger \cos \left(\sqrt{2\Delta\tau V_N} \right) \right)^K |u_N(0)\rangle \right\|^2 \approx \frac{\|u_N(T)\|^2}{\|u_N(0)\|^2} \xrightarrow{N \rightarrow \infty} \frac{\|u(T)\|_{L^2}^2}{\|u_0\|_{L^2}^2}.$$

※ 成功確率には、解のノルム情報がある。また、(T に依存した)定数に収束する。

考察および比較

1D 移流拡散方程式の例

$\Delta\tau = 0.0005, K = 10, 100, 200$



解が局在関数となる場合を除けば、FSMはFDMより精度が良い。（空間離散化誤差の減衰が速い as $N \rightarrow \infty$ ）



FSMに定式化できる問題はFSMを採用することを推奨。（例えば、周期境界条件）

時間離散化 EI vs. BE vs. AAPITEs vs. APITEs

Exponential Integrator(EI)

$$h_0(y) := e^{-y} = 1 - y + \frac{y^2}{2} + O(y^3),$$

$$y \sim \Delta\tau H_N$$

Backward Euler(BE)

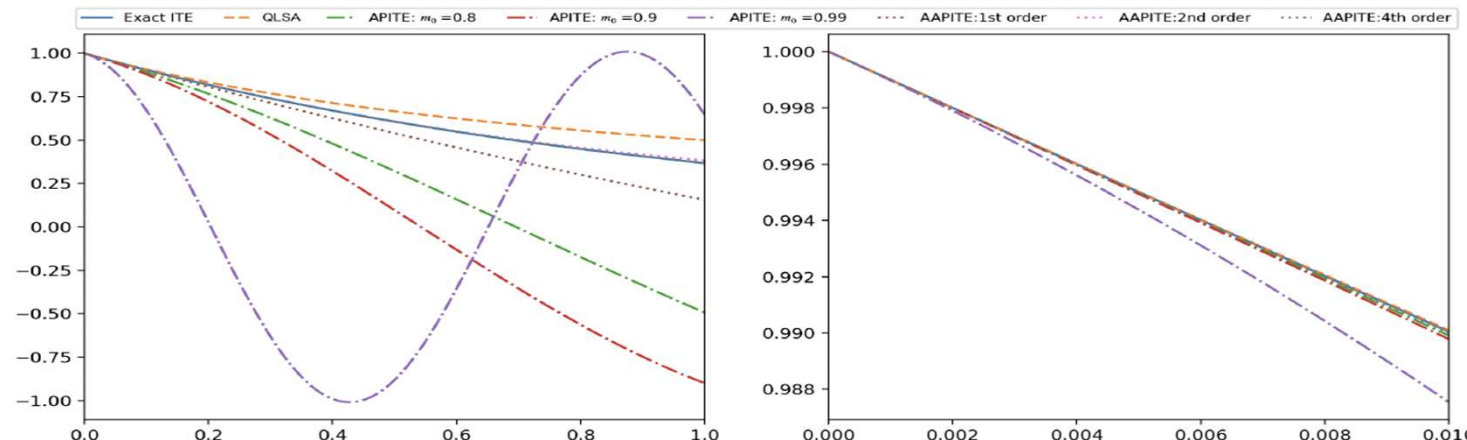
$$h_1(y) := (1+y)^{-1} = 1 - y + \frac{y^2}{2} + O(y^3),$$

AAPITE

$$h_2(y) := \cos(\sqrt{2}y) = 1 - y + \frac{y^2}{6} + O(y^3),$$

APITE($m_0 = 0.9$)

$$h_3(y) := \cos\left(\arccos(0.9) + \frac{0.9y}{\sqrt{1-0.9^2}}\right)/0.9 = 1 - y - \frac{81y^2}{38} + O(y^3).$$



AAPITEとBEが同様に一次近似である。ただし、二次係数はAAPITEの方がやや優れる。

※ BE-QLSAs: 時間発展方程式を解くQLSAsのうち時間ステップごとに逆演算子を計算するもの。

量子線型方程式アルゴリズム(QLSAs)

$$|x\rangle = A^{-1}|b\rangle$$

- 先駆的手法: QPE-based QLSAs = HHL(Harrow-Hassidim-Lloyd) algorithm [Harrow et al. PRL '09]
- 改善手法: QSVD-based QLSAs など [Gilyen et al. STOC 2019 '19]
- 時間発展に対応する手法: Time-sequential QLSAs (BE-QLSAs) e.g. [Ingemann et al. '24]
One-shot QSVD-based QLSAs e.g. [Krovi Quantum '23]

線型方程式アルゴリズムの比較(古典 vs. 量子)

N : 行列サイズ = グリッド数, d : 空間次元数, κ : 条件数, ε : 誤差上界

| | 線型方程式 | 二階 PDEs |
|----|-----------------------------------|--|
| 古典 | Sparse CG e.g. [Saad SIAM '03] | $O(\sqrt{\kappa} N \log(1/\varepsilon))$ |
| 量子 | QLSAs e.g. [Krovi Quantum '23] | $O(\kappa \text{polylog} N \text{polylog}(1/\varepsilon))$ |

※ 行列サイズ N への依存性に注目するため、空間次元数 d へのマイナーハイドを省略した。
二階のPDEでは、条件数は行列サイズの多項式オーダー $\kappa = O(N^{2/d})$.

ゲート操作数・回路深さ BE-QLSAs vs. AAPITE

- BE-QLSAsとAAPITEは、同程度の時間ステップ $\Delta\tau$ をとれば良い。
- そのため、一時間ステップごとのゲート操作数・回路深さを比較すれば良い。

| | BE-QLSAs | AAPITE |
|---------------------------|---|---|
| 一時間ステップごとの ゲート操作数・回路深さ | $\tilde{O}\left(N^{2/d} \text{polylog}(1/\varepsilon)\right)$ | $O(\text{polylog } N (1/\varepsilon)^{o(1)})$ |

- QSVD-based QLSAsは最良オーダーのQLSAsで、高次多項式によって逆演算子を近似する。

※ QSVD(Quantum Singular Value Decomposition)を使うとき、高次多項式の係数を計算する必要がある。理論上、次数 $p = O(\kappa \log(1/\varepsilon))$ を取るべきである。一方、係数を計算する際にニュートン法を適用した場合の古典計算コストは $O(p^2)$ であるから、現状のアルゴリズムでは大きな条件数(1000+)を扱い難い。

QLSAsとの比較(反応移流拡散方程式を例として)

| | Variations | Basic oracles | Query complexity ^[a] /Iterations | Oracle complexity /Complexity per iter. | Total complexity | Comments |
|---|---|--|---|--|--|--|
| Sparse CG [Saad SIAM '03] (古典) | *BE | N/A | $O(N^{1/d}(1/\varepsilon)\log(1/\varepsilon))$ | $O(N)$ | $\tilde{O}(N^{1+1/d}(1/\varepsilon))^*$ | Sparse CG is a conventional iterative method for solving linear systems. Due to the N -dependence in condition number, preconditioning is needed for large matrices. |
| | EM | N/A | $\tilde{O}(N^{1/d}\text{polylog}(1/\varepsilon))$ | $\tilde{O}(N^{1+2/d}\log(1/\varepsilon))$ | $\tilde{O}(N^{1+3/d}\text{polylog}(1/\varepsilon))$ | |
| QLSAs [Harrow et al. PRL '09, Krovi Quantum '23] (量子) | QPE(=HHL) + BE | RTEs for matrix $A = I + \Delta\tau H_N$ $\Delta\tau = O(\varepsilon)$ | $\tilde{O}(N^{2/d}(1/\varepsilon))$ | $\tilde{O}(N^{2/d}(1/\varepsilon))$ | $\tilde{O}(N^{4/d}(1/\varepsilon)^2)$ | QSVD-based QLSA is one of the best-order quantum algorithms for linear systems. The oracle complexity is not yet clarified if there exists a self-reaction potential. Because of the large condition number, <u>QLSAs are not applicable for large matrices, and hence preconditioning is indispensable.</u> ※ The current QLSAs have $O(N^{2/d})$ parameters, whose classical calculations need complexity $\Omega(N^{2/d})$. |
| | QSVD + BE | Block encoding for normalized matrix A | $O(N^{2/d}(1/\varepsilon)\log(1/\varepsilon))$ | $\Omega(\text{polylog}N)$ | $\tilde{O}(N^{2/d}(1/\varepsilon))$ | |
| | *QSVD + EM | Block encoding for a normalized enlarged matrix | $\tilde{O}(N^{2/d}\text{polylog}(1/\varepsilon))$ | $\Omega(\text{polylog}N)$ | $\tilde{O}(N^{2/d}\text{polylog}(1/\varepsilon))^*$ | |
| | APITE + ST1 [Kosugi et al. PRR '22] | RTE for matrix H_N | $O((1/\varepsilon)\exp(1/\varepsilon))$ | $O(\text{polylog}N(1/\varepsilon)^{o(1)})$ | $\tilde{O}(\text{polylog}N\exp(1/\varepsilon))$ | |
| PITE algorithms (proposal) (量子) | *AAPITE + ST1 | RTEs for matrices $D_N^{(1)}, \sqrt{D_N^{(2)}}, \sqrt{V_N}$ | $O((1/\varepsilon))$ | $O(\text{polylog}N(1/\varepsilon)^{o(1)})$ | $\tilde{O}(\text{polylog}N(1/\varepsilon)^{1+o(1)})^*$ | AAPITE algorithm is applicable for large matrices, and can be extended to coupling systems. The oracle complexity relies on the FSM with periodic BCs. Thus, it is not directly applicable for the cases with complicated boundaries. |
| | | | | | | |

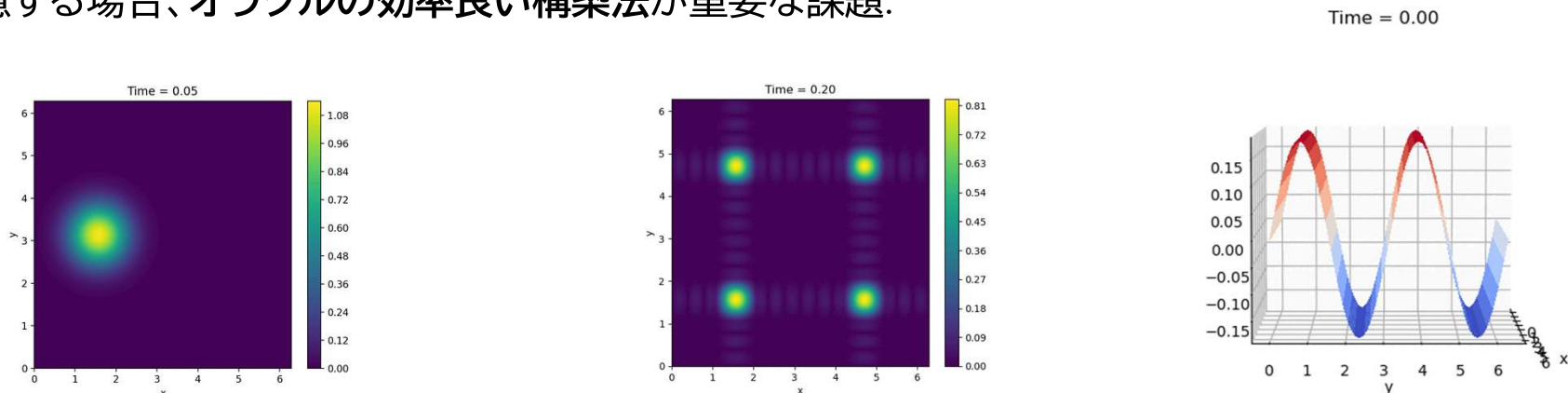
BE: backward Euler, EM: enlarged matrix, see the matrix L in Krovi 2023, ST1: first-order Suzuki-Trotter formula, BC: boundary condition.
* denotes the best-order algorithm in each block of algorithms.

[a] The $(1/\varepsilon)$ dependence in the query complexity comes from the time discretization error for AAPITE or BE. It can be reduced to $(1/\varepsilon)^{1/p}$ for some integer p if p th-order time discretization methods and p -th order Suzuki-Trotter formula are used.

- ・ 時間発展方程式の量子解法には、QLSAs(含HHLアルゴリズム)に比べ、PITE 法が優れる(N に関する加速).
- ・ グリッド数に関して最良指数的に加速する近似手法: AAPITE 法を提案した.
- ・ 本手法は FDM, FEM などの離散化法への適用も可能である. 今回は、オラクルの効率良い回路実装が可能な FSM + AAPITE + Suzuki-Trotter 分解を組み合わせた手法を提案して、指数的加速を実証した.

展望と課題

- ・ 本手法は、さらに連立微分方程式に拡張することも可能である.
- ・ 時間ステップごとに解の読み出しが可能であれば、非線型方程式も取り扱える. e.g. (viscous) Burgers' equation.
- ・ FEM を考慮する場合、オラクルの効率良い構築法が重要な課題.



- **(Main manuscript)** X. H., H. Nishi, T. Kosugi, Y. Kawada, Y. Matsushita. A probabilistic imaginary-time evolution quantum algorithm for advection-diffusion equation: Explicit gate-level implementation and comparisons to quantum linear system algorithms. Preprint. arXiv:2409.18559v2
- **(HHL algorithm)** A.H. Harrow, A. Hassidim, S. Lloyd. Quantum algorithm for linear systems of equations. Phys. Rev. Lett. 103, 2009, 150502. <https://doi.org/10.1103/PhysRevLett.103.150502>
- **(Sparse CG method)** Y. Saad. Iterative methods for sparse linear systems. Second edition. SIAM, 2003. <https://doi.org/10.1137/1.9780898718003>
- **(One best-order QLSA)** H. Krovi. Improved quantum algorithms for linear and nonlinear differential equations. Quantum 7, 2023, 913. <https://doi.org/10.22331/q-2023-02-02-913>
- **(Diagonal unitary matrices)** X. H., T. Kosugi, H. Nishi, Y. Matsushita. Approximate real-time evolution operator for potential with one ancillary qubit and application to first-quantized Hamiltonian simulation. Quantum Inf. Process. 24, 2025, 85. <https://doi.org/10.1007/s11128-025-04697-7>

ご清聴ありがとうございました